研究探讨 🧿

PERSPECTIVE

碳交易机制下计及电-热-冷综合能源系统 需求响应优化调度

王 博,毛清祥,高文星,魏 莱,纪兴英

(江西水利电力大学 江西省教育厅能源低碳转化与存储重点实验室,江西 南昌 330099)

摘 要:在全球能源低碳化转型背景下,综合能源系统(integrated energy system, IES)作为提升能效和促进清洁能源消纳的重要手段,受到广泛关注。为实现系统低碳经济运行,文中将需求响应与碳交易机制引入IES优化调度中。首先,基于电-热-冷负荷的协同互补特性,构建了多能协同的需求响应模型;其次,结合燃气轮机与燃气锅炉的碳排放特征,采用基准线法分配无偿碳配额,并建立碳交易模型;最终,以最小化购能成本、碳交易成本、维护成本及弃风、弃光成本为目标,构建了电-热-冷IES优化调度模型,并转化为混合整数线性规划问题,通过CPLEX求解。算例分析设置4种场景,结果表明:引入碳交易后系统总成本降低7.23%;进一步加入需求响应后,运行成本再降4.31%。仿真结果还显示,需求响应与碳交易协同可有效实现负荷灵活转移,减少天然气消耗,显著降低碳排放,具有良好的应用前景。

关键词:需求响应;碳交易机制;综合能源系统

中图分类号:TM 73 文献标志码:A 文章编号:1006-348X(2025)05-0012-06

0 引言

在化石燃料短缺与生态压力持续加剧的背景下,清洁能源的全球布局已成为国际社会推进能源结构调整、构建低碳经济体系的核心路径[1-2]。在此背景下,综合能源系统(integrated energy system, IES)应运而生^[3]。优化调度不仅是 IES 能源生产、能源利用及供需平衡的前提,更是实现系统内多异质能源子系统协调互补与经济运行的关键所在^[4]。

在IES运行框架下,需求响应(demand response, DR)技术凭借其负荷形态调节能力,推动供给侧与需求侧动态匹配,优化负荷峰谷分布,保障系统经济性运行^[5]。目前,国内外对考虑DR的IES优化调度开展了较多研究。文献[6]考虑了用户侧电、热负荷的DR,完成了大规模可再生能源并网的综合能源系统动态优化调控;文献[7]构建了电-气耦合的IES,并在引入DR后实现了电力和天然气供需的优化分配;文献[8]引入IB-DR技术在电-热耦合的IES的应用验证显示,在维持终

端用能满意度指标不变的条件下,系统运营成本显著 降低,同时运行稳定性实现同步增强。

双碳战略驱动下,IES研究重点正沿着传统经济调度向低碳经济调度转型。实施碳排放权交易制度能够显著减少系统温室气体排放,同时优化整体运营支出^[9];文献[10]针对电-气耦合能源网络中的常规碳配额交易模式,研究了碳定价机制对系统运行成本和温室气体排放的调控作用。

综上所述,现有文献对同时考虑 DR 与碳交易机制的 IES 优化调度研究尚显不足,多数文献即便涉及 DR 响应也仅局限于电力负荷维度。为此,本研究聚焦于构建融合电-热-冷综合能源系统(Electricity-Heat-Cooling integrated energy system, EHCIES)三联供负荷需求响应与碳交易机制的协同调度模型。

1 构建含需求响应的 EHCIES 模型

EHCIES结构的研究如图1所示。新能源发电单元主要由光伏发电(photovoltaic, PV)和风力发电

收稿日期:2025-06-12

基金项目:国家自然科学基金项目(51969017)。

作者简介:王博(1998),男,硕士研究生,研究方向为综合能源系统优化调度。

HANGXI DIANI 1-2025

(wind turbine, WT)系统构成。能量转换装置则包含热泵(heat pump, HP)装置、吸收式制冷(absorption chiller, AC)设备、燃气锅炉(gas boiler, GB)设备、电制冷(electric cooling, EC)设备、热电联供(combined heat and power, CHP)系统。其中, CHP整合了燃气轮机(gas turbine, GT)、余热回收锅炉(waste heat boiler, WB)以及采用有机朗肯循环(organic rankine cycle, ORC)技术的低温余热发电模块,通过热电分离的运行策略,显著增强了多能源协同调控的灵活性。多元储能设备主要包括储电系统(electrical energy storage, ES)、储热系统(heat energy storage, HS)。DR的应用有助于稳定负荷曲线的起伏变化,实现功率和热能的交叉融合,缩减负荷波动区间,从而优化系统运行成本[11]。



图1 EHCIES架构

1.1 DR模型的构建

用户在电网互动中,通过实时电价和相关激励机制调整其能源使用模式,有助于平滑用电负荷波动,优化IES的运行性能[12]。根据负载的响应特性,可将其分为基础负载、可削减负荷(curtailable load,CL)、可平移负载(shiftable load,SL)、可替代负载(replaceable load,RL)。由于基础负荷属于不可控负荷,不参与DR。

1) CL特性分析及建模

CL的核心功能是通过价格机制调节用户能耗,平衡电力系统供需,提升能效。DR特性可以通过价格需求弹性矩阵来描述。定义CL的特性为一个 $k \times k$ 的价格需求弹性矩阵 $A_{i,j}$,其中时间维度 k设定为 24 h。该矩阵中的元素 $a_{i,j}$ 表示在第i时刻下负荷对第j时刻电价变化的弹性系数,弹性矩阵中的元素用 $a_{i,i}$ 表示:

$$a_{i,j} = \frac{\Delta L_i / L_i^0}{\Delta p_i / p_i^0} \tag{1}$$

式中: ΔL_i 表示 DR实施后,在第i时刻下的负荷变化量; L_i^o 表示在i时刻下的初始负荷; Δp_j 表示 DR实施

后,在第j时刻下的电价变化量; p_j^0 表示在j时刻下初始电价。

因此,DR后在i时刻下可削减负荷变化量 ΔL_i^{CL} 为:

$$\Delta L_i^{\text{CL}} = L_i^{\text{CL},0} \left[\sum_{j=1}^k A_{\text{CL}}(ij) \frac{p_j - p_j^0}{p_j} \right]$$
 (2)

式中: $L_i^{\text{CL},0}$ 表示i时刻的初始 $\text{CL}; A_{\text{CL}}(i,j)$ 表示CL的价格需求弹性矩阵,表征为对角矩阵; p_j 表示j时刻的电价。

2) SL 特性分析及建模

同理, DR 后在i时刻下的可转移负荷变化量 ΔL^{SL}_{i} 为:

$$\Delta L_i^{\rm SL} = L_i^{\rm SL,0} \left[\sum_{j=1}^k A_{\rm SL}(i,j) \frac{p_j - p_j^0}{p_j} \right]$$
 (3)

式中: $L_i^{\text{SL}0}$ 表示i时刻的初始SL; $A_{\text{SL}}(i,j)$ 表示SL的价格需求弹性矩阵,表征为对角矩阵。

3) RL特性分析及建模

RL指通过多能互补满足负荷需求。为提升经济性,系统规划电力用于低谷期,热能用于高峰期,形成电、热、冷能间的动态替代关系可表示为:

$$\begin{cases} \Delta E_i^{\rm RL} = -\theta_{\rm e,h} \Delta H_i^{\rm RL} - \theta_{\rm e,c} \Delta C_i^{\rm RL} \\ \Delta H_i^{\rm RL} = -\theta_{\rm h,e} \Delta E_i^{\rm RL} - \theta_{\rm h,c} \Delta C_i^{\rm RL} \\ \Delta C_i^{\rm RL} = -\theta_{\rm c,e} \Delta E_i^{\rm RL} - \theta_{\rm c,h} \Delta H_i^{\rm RL} \end{cases}$$
(4)

式中: ΔE_i^{RL} 、 ΔH_i^{RL} 、 ΔC_i^{RL} 依次表示可相互替代的电力、热力与冷能负荷量; $\theta_{\text{e,h}}$ 、 $\theta_{\text{e,c}}$ 、 $\theta_{\text{h,c}}$ 分别为电-热、电-冷、热-冷替代系数。

2 碳排放配额模型

碳排放配额的确定是碳交易体系实施的首要环节。目前,在碳排放配额分配机制中,中国主要实施无偿配给制度,同时运用基准线法来确定系统排放限额。就本研究中的EHCIES而言,其温室气体排放主要来源于燃气轮机与燃气锅炉两大设备。因此,碳交易无偿配额模型如式(5)所示:

$$\begin{cases} Q^{0} = Q_{\text{GT}}^{0} + Q_{\text{GB}}^{0} \\ Q_{\text{GT}}^{0} = \beta_{h} \left(\gamma \sum_{t=1}^{T} P_{\text{GT,e}}^{t} + \sum_{t=1}^{T} P_{\text{GT,h}}^{t} \right) \\ Q_{\text{GB}}^{0} = \beta_{h} \sum_{t=1}^{T} P_{\text{GB}}^{t} \end{cases}$$
(5)

式中: Q^{0} 、 Q^{0}_{GT} 、 Q^{0}_{GB} 表示综合能源系统、GT和GB的无

研究探讨 🍳

PERSPECTIVE

偿碳排放配额; β_h 为产生单位热量所获得的无偿碳排放配额,取 0.375 kg/(kW·h); γ 为电量折算系数; $P'_{GT,e}$ 、 $P'_{GT,h}$ 分别表示在时间t时段下 GT 的机电功率、热功率的供给量; P'_{GB} 表示在时间t时段下 GB 的热功率的供给量;T为系统的调度周期。

系统实际碳排放量 Q_{EC} 需要综合考虑热电联产、GB设备运行状态等因素。实际的碳排放模型为:

$$\begin{cases} Q_{\text{EC}}^{1} = Q_{\text{GT}}^{1} + Q_{\text{GB}}^{1} \\ Q_{\text{GT}}^{1} = \alpha_{\text{h}} \left(\gamma \sum_{t=1}^{T} P_{\text{GT,e}}^{t} + \sum_{t=1}^{T} P_{\text{GT,h}}^{t} \right) \\ Q_{\text{GB}}^{1} = \alpha_{\text{h}} \sum_{t=1}^{T} P_{\text{GB}}^{t} \end{cases}$$
(6)

式中: Q_{EC}^1 、 Q_{GT}^1 、 Q_{GB}^1 表示综合能源系统、GT和GB的实际碳排量; α_h 为碳排放系数,取0.61 kg/(kW·h)。

因此,实际碳排放与碳排放配额之间的差值Q为:

$$Q = Q_{\text{EC}}^1 - Q^0 \tag{7}$$

3 EHCIES优化运行模型

文中以EHCIES的总运行成本C作为目标函数,该成本包括购能成本 C_{buy} 、碳交易成本 C_{co_2} 、设备维护成本 C_{ca} 和弃风、弃光成本 C_{wp} ,具体表示为:

$$C_{\min} = C_{\text{buv}} + C_{\text{co}} + C_{\text{eq}} + C_{\text{wp}} \tag{8}$$

1) 购能成本 C_{buy}

$$C_{\text{buy}} = \sum_{t=1}^{T} \alpha_t P_{\text{e,buy}}^t + \sum_{t=1}^{T} \beta_t P_{\text{g,buy}}^t$$
 (9)

式中: $P'_{e,buy}$ 、 $P'_{g,buy}$ 表示在t时段下购电量、购气量; α_t 、 β_t 分别表示在t时段下电价及气价。

2) 碳交易成本 C_{co}

$$C_{\text{co}_2} = \sum_{t=1}^{T} k_{\text{co}_2} Q_{\text{EC}}^{1,t}$$
 (10)

式中: k, , 为碳交易市场价格。

3)设备维护成本 C_{eq}

$$C_{\rm eq} = \sum_{i=1}^{T} \sum_{i=1}^{9} \theta_i^{\rm eq} P_i^t \tag{11}$$

式中:i取1,2,…,9,分别代表PV、WT、GT、WB、基于ORC的低温余热发电装置、WB、HP、AC和EC; θ_i^{eq} 为设备i的维修费用系数; P_i^{e} 为设备i在t时刻的输出功率。

4) 弃风、弃光成本 C_{wn}

$$C_{\rm wp} = \lambda (P_{\rm wt.e}^t - P_{\rm wt}^t + P_{\rm pv.e}^t - P_{\rm pv}^t)$$
 (12)

式中: P'_{wte} 、 P'_{wte} 分别为无弃风、无弃光时在t时段下的

输出功率; P'_{wt} 、 P'_{pv} 分别为弃风、弃光时在t时段下的实际输出功率; λ 为弃风、弃光的单位惩罚因子。

3.1 约束条件

1) CHP运行约束

CHP 发电由 GT 发电和 ORC 发电两部分组成。 CHP 中的产热量与 WB 中的产热量相对应。

$$\begin{cases} P_{\text{CHP,e}}^{t} = P_{\text{GT,e}}^{t} + P_{\text{ORC,e}}^{t} \\ P_{\text{GT,e}}^{t} = Q_{\text{CHP}}^{g,t} \tau_{\text{GT}}^{e} V_{g} \\ P_{\text{GT,h}}^{t} = Q_{\text{CHP}}^{g,t} \tau_{\text{GT}}^{h} V_{g} \\ P_{\text{ORC,e}}^{t} = P_{\text{GT,h}}^{t} \alpha_{t} \delta_{\text{ORC}} \\ P_{\text{CHP,h}}^{t} = P_{\text{GT,h}}^{t} \beta_{t} \tau_{\text{WB}} \\ \alpha_{t} + \beta_{t} = 1; 0 \leq \alpha_{t}, \beta_{t} \leq 1 \end{cases}$$

$$(13)$$

式中: $P'_{ORC,e}$ 表示在t时段下低温余热发电装置产生的电功率; Q'_{CHP} 表示燃气轮机在t时段下的天然气消耗量, τ'_{GT} 、 τ'_{GT} 分别表示为GT的气转电和气转热效率; β_t 表示在t时段下余热锅炉的热回收效率; α ,表示在t时段下余热发电效率; V_g 表示天然气的低热值,取9.97($kW\cdot h$)/ m^3 ; τ_{WB} 表示WB的热转换效率; δ_{ORC} 表示余热发电装置的发电效率。PV、WT、GB、AC和EC能源转换设备约束以及储能系统约束,可参考文献[13]。

2) 热泵约束条件

$$\begin{cases}
P_{\text{HP,h}}^{\text{min}} \leq P_{\text{HP,h}}^t \leq P_{\text{HP,h}}^{\text{max}} \\
R_{\text{HP}}^{\text{down}} \leq P_{\text{HP,h}}^t - P_{\text{HP,h}}^{t-1} \leq R_{\text{HP}}^{\text{up}}
\end{cases}$$
(14)

式中: $P_{\text{HP},h}^{\text{min}}$ 、 $P_{\text{HP},h}^{\text{max}}$ 分别为热泵输出功率最小值、最大值; $R_{\text{HP}}^{\text{down}}$ 、 $R_{\text{HP}}^{\text{up}}$ 分别为热泵输出功率的爬坡速率最小值与最大值。

3) 电功率平衡约束

$$\begin{cases} P_{\text{gridbuy}}^{t} + P_{\text{WT}}^{t} + P_{\text{PV}}^{t} + P_{\text{CHP,e}}^{t} + P_{\text{ES}}^{\text{dis},t} = \\ P_{\text{e,load}}^{t} + P_{\text{gridsell}}^{t} + P_{\text{HP}}^{t} + P_{\text{EC}}^{t} + P_{\text{ES}}^{\text{chr,t}} \end{cases}$$
(15)

式中: $P'_{e,load}$ 表示在t时段下的电负荷; $P'_{gridbuy}$ 、 $P'_{gridsell}$ 分别表示从上级电网购电和售电; P_{ES}^{dist} 、 P_{ES}^{chrst} 分别表示在t时段下充电装置放电、充电功率。

4) 热功率平衡约束

 $P'_{WB,h} + P'_{GB,h} + P'_{HP,h} + P^{dis,t}_{ES} = P'_{h,load} + P'_{AC,h} + P^{chr,t}_{HS}$ (16) 式中: $P'_{h,load}$ 表示在t时段下的热负荷; $P^{dis,t}_{ES}$ 、 $P^{chr,t}_{HS}$ 分别表示在t时段下储热系统放热、充热功率。

5) 冷功率平衡约束

$$P_{\text{AC.c}}^t + P_{\text{EC.c}}^t = P_{\text{c.load}}^t \tag{17}$$

式中: P'_{cload} 表示在t时段下的热负荷。

3.2 电、热和冷负荷满意度约束

电、热和冷负荷满意度指标可描述为:

$$\begin{cases}
0.9 \le I \le 1 \\
\sum_{i \in (e,h,c)} \left(1 - \frac{\sum_{i=1}^{T} |P_{k,load}^{*,t} - P_{k,load}^{t}|}{\sum_{i=1}^{T} P_{i}} \right) \\
I = \frac{3}{3}
\end{cases}$$
(18)

式中: $P_{k \log t}^{*t}$, $P_{k \log t}^{t}$ 分别表示在t时段下需求响应之前 和之后负荷k的功率; P_i 为能源种类i的功率。

4 算例分析

文中以中国东北某地区电-热-冷综合能源系统为 研究对象,包含PV、WT、GT、WB、ORC低温余热发电 装置、GB、HP、EC和AC等单元。调度周期为24小时、 每小时为一个时段,构建混合整数线性规划模型,并通 过MATLAB集成CPLEX求解器进行数值计算,获取 最优解。表1列出了各设备参数,能源价格采用分时 机制,电力与天然气的分时价格见表2和表3,图2展示 了电、热、冷负荷初始分布及风电与光伏预测出力。

表1 设备参数

设备类型	设备参数	数值
	安装容量/kW	4 000
GT	电效率	0.3
	热效率	0.4
WB	效率	0.8
GB	效率	0.9
HP	安装容量/kW	600
пг	效率	4.4
基于ORC的低温	安装容量/kW	400
全力 ORC 的 似温 余热发电装置	效率	0.8
	切除系数	0.15
AC	安装容量/kW	800
AC	效率	1.2
EC	安装容量/kW	600
EC	效率	3
	容量上限	600
储电系统	容量下限	50
阳电示机	充放热效率	0.95/0.9
	最大充放热功率/kW	300
	容量上限	600
储热系统	容量下限	30
旭 然尔凯	充放热效率	0.95/0.9
	最大充放热功率/kW	300

表2 分时电价

		元/kWh
类别	时段	价格
谷时	06:00~07:00,18:00~19:00	0.363
平时	07:00~18:00,23:00~24:00	0.689
峰时	01:00~06:00,19:00~23:00	1.015

表3 分时气价

		兀/m³
类别	时段	价格
谷时	01:00~08:00	0.250
平时	08:00~10:00,13:00~19:00,22:00~24:00	0.350
峰时	10:00~13:00,19:00~22:00	0.500

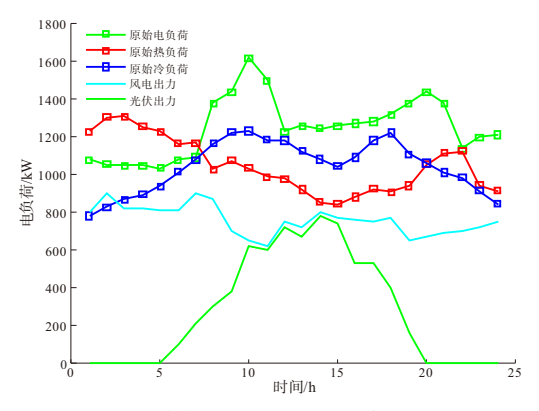


图2 电-热-冷负荷以及风电、光伏预测出力曲线

4.1 碳交易机制下需求响应效益的综合分析

为了验证引入电-热-冷负荷 DR 和碳交易机制可 以降低文中所提优化模型的经济运行成本,设置了四 种不同的场景进行分析,如表4所示。场景1仅含需 求响应,场景2仅含碳交易机制,场景3碳交易与需求 响应协同作用,场景4无碳交易机制及需求响应(基 准场景)。

表 4 各场景优化调度结果

场景	系统运行总成本	购能成本	运行维护成本	碳交易成本	实际碳排放量
勿水	/元	/元	/元	/元	/kg
1	24 972.60	21 178.35	1 933.19	1 448.26	26 246.12
2	24 929.94	22 215.25	1 898.36	403.53	20 465.14
3	23 855.62	21 199.92	1 849.60	393.31	19 946.48
4	26 873.13	22 470.86	2 435.80	1 553.67	27 512.82

1) 场景1与场景3对比分析

在场景1中,由于优化调度未纳入碳交易机制,系 统以最低购能成本为目标进行运行决策。这一策略使 得系统更倾向于采购价格较低的天然气来满足能源需 求,从而有效降低了初期购能成本。然而,天然气的大 量使用导致碳排放显著增加,系统不得不额外购买碳排 放配额以抵消超额排放。因此,场景1不仅引发了较高 的碳排放水平,也进一步推高了系统的整体运行成本。

2) 场景2与场景4对比分析

正是因为场景2考虑了碳交易机制,所以在此场 景下,碳排放量有所限制。相较于场景4,温室气体 排放下降了25.62%,同时整个系统的运营费用缩减 了7.23%。通过对比分析可知,该方案在降低碳排放 量和节约经济支出方面均取得了显著成效。

3) 场景2与场景3对比分析结果

在场景2基础上,场景3通过用户侧需求响应引 入了电-气-冷负荷相互替代策略,用户得以根据能源 价格自由选择用能。具体为在低电价夜间转移负荷, 替代高电价白天用电,优化能效以节能。这一策略使

研究探讨 🤉

PERSPECTIVE

碳排放减少了2.53%,系统总运行成本降低4.31%,低 碳性与经济性均得到显著改善。

4.2 结合碳交易与需求响应的设备运行策略研究

在考虑DR和碳交易机制后,电、热、冷负荷的设 备出力如图3-图5所示。

由图3可知,每目的01:00-08:00为电价低谷时段, 用电负荷主要由电网购电和可再生能源供应,富余电力 通过供能其他设备或储电系统存储,从而降低运行成本; 在8:00-10:00、13:00-19:00及22:00-00:00的高电价时 段,因购电成本高于购气成本,系统优先调用新能源供电; 其中22:00-24:00光伏无出力,启动CHP以缓解供电压 力:10:00-12:00与19:00-21:00为用电高峰,系统主要依 靠新能源与CHP满足HP、EC及电负荷需求,储电系统在 高峰时段放电、低谷时段充电、保障系统经济高效运行。

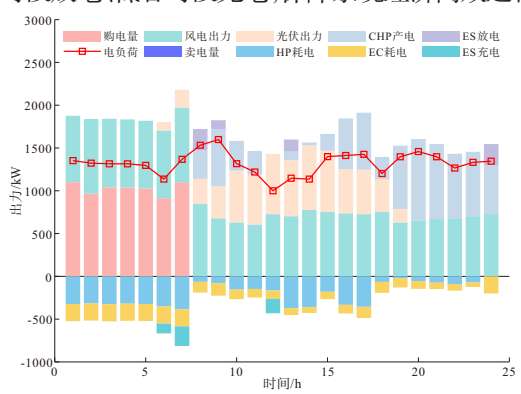
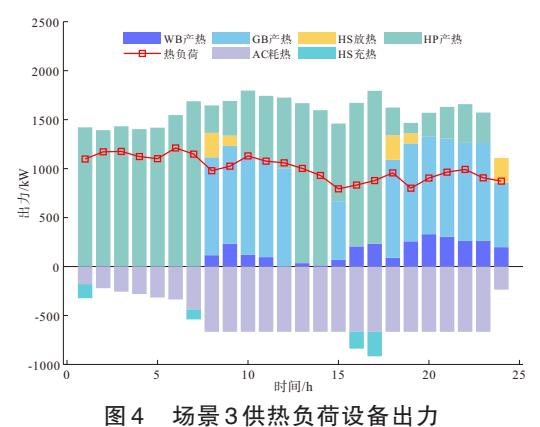


图3 场景3电负荷设备出力

由图4可知,在00:00-08:00,电价处于谷时段 AC和热负荷均由HP供应,在其他时段,AC和热负 荷供应主要依靠HP、GB和少量WB。考虑到HP供 热效率高于CHP和GB,因此优先选择HP供热,在 HP不能完全满足热负荷需求且该时段 CHP 不出力 的情况下,采用GB供热。储热系统将多余热量储 存,并在供热不足时及时释放,保障供热的稳定性。



由图5可知,冷负荷供应依靠EC和AC。在00: 00-08:00, 电价处于谷时段, EC满发。在EC不能完 全满足冷负荷需求时,采用AC。在08:00-13:00和 16:00-21:00时段,冷负荷需求逐渐增大,电价较高, 供电设备优先为用户提供用电负荷,因此该时段主要 依靠AC提供冷能,维持系统稳定运行。

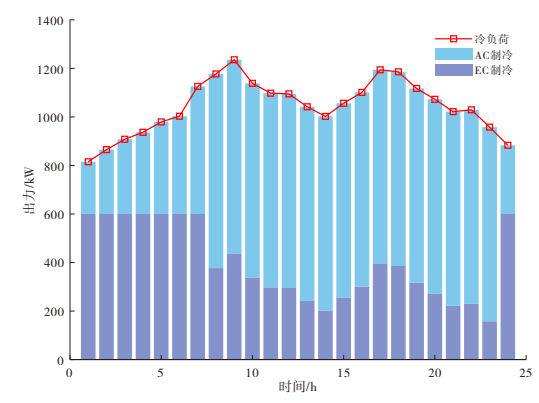
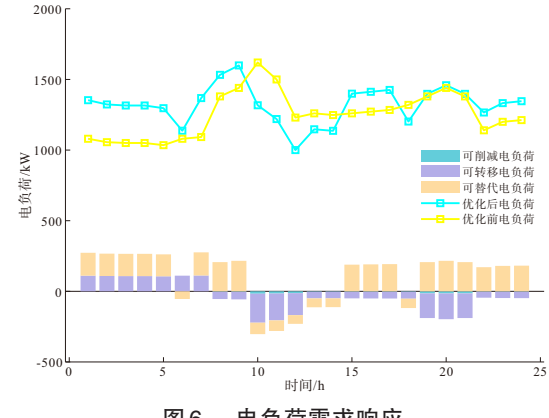


图5 场景3冷负荷设备出力

4.3 电、热、冷负荷的需求响应分析

图 6-8 分别展示了 DR 实施前后用户的电、热、冷 负荷曲线及各时段CL、RL与SL情况。

从图6可以看出,在分时电价和补偿机制激励下, 用户积极参与DR。相比实施前,实施后负荷峰谷更分 明。为缓解供电压力,采用负荷转移策略优化调配电 力需求至不同电价时段, 高峰电价(10:00-12:00)部分 负荷转移至平、谷时段,有效降低峰值压力,提升其他 时段负荷水平。同时,谷时段可再生能源出力较高,有 助于提高清洁能源消纳率,降低系统运行成本。



电负荷需求响应

从图7可以看出,虽然在DR之前的01:00-7:00、 19:00-22:00处于用热高峰期,在满足用户需求的同 时还有剩余负荷。因此,将可转移负荷转移到其他时 段,以缓解其他时段的供热压力,维持系统的稳定。

JIANGXI DIANI I:2025

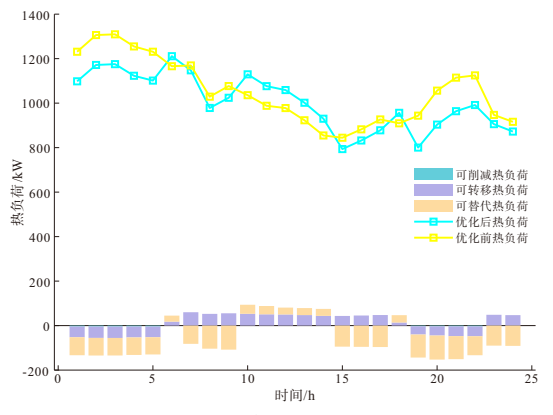
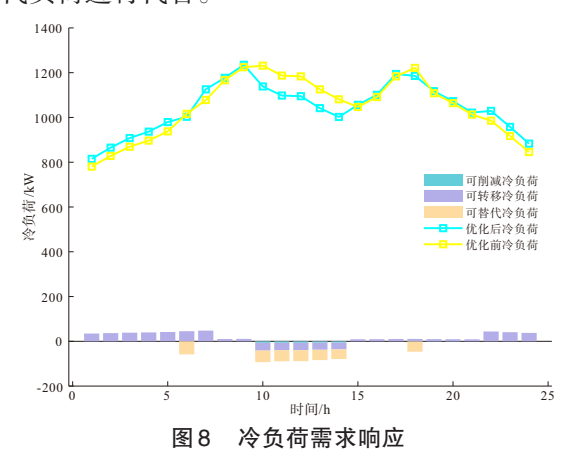


图7 热负荷需求响应

从图 8 可以看出,由于电价在 00:00-7:00 处于谷平阶段,且可再生能源出力较大,因此该时段分配给 EC 的电量过剩,AC 出力较多,使得该时段可转移负荷较多。10:00-14:00 电价较高,为了缓解冷负荷压力,可以将这部分负荷转移到其他时段,或者利用可替代负荷进行代替。



5 结语

针对IES的优化运行问题,文中以系统运行成本最小为目标函数,建立基于DR和碳交易机制的IES优化运行模型,优化系统中各设备的出力。通过仿真验证,得出以下结论:

- 1) 文中提出的电、热、冷负荷需求响应可有效缓解用能高峰期供能设备的供能压力。DR 可以灵活调节用户侧负荷,在用能高峰期,可以削减或转移部分负荷,维持系统的稳定性。
- 2) 碳交易与需求响应的协同应用可显著提升综合 能源系统调度灵活性及能源利用效率,推动绿色低碳发

展,并削减系统运行成本。实证表明:该策略使EHCIES 总支出同比降低11.54%,碳排放总量下降达29.93%。

参考文献:

- [1] You C, Kim J.Optimal design and global sensitivity analysis of a 100% renewable energy sources based smart energy network for electrified and hydrogen cities[J]. Energy Conversion and Management, 2020, 223:113252.
- [2] Wang S, Meng Z, Yuan S. IEC 61970 standard based common information model extension of electricity-gas-heat integrated energy system[J]. International Journal of Electrical Power & Energy Systems, 2020, 118:105846.
- [3] 李楠,柳玉宾,王恒涛,等.综合能源系统优化调度研究综述[J].能源与节能,2021(10):58-59.
- [4] 陈泉, 宗炫君, 李梦源. 计及节能性的多异质能源系统多目标协同优化[J]. 中国电力, 2023, 56(06): 148-157.
- [5] 葛鑫鑫,付志扬,徐飞,等.面向新型电力系统的虚拟电厂商业模式与关键技术[J].电力系统自动化,2022,46(18):129-146.
- [6] 喻潇,蒋东荣,肖昊,等.计及动态氢价的综合能源系统低碳经济调度[J].重庆理工大学学报(自然科学),2024,38 (12):197-206.
- [7] Sheikhi A, Bahrami S, Ranjbar A M.An autonomous demand response program for electricity and natural gas networks in smart energy hubs[J]. Energy, 2015, 89:490-499.
- [8] Du P, Lu N, Zhong H, et al. Integrated Demand Response in the Multi-Energy System[J]. Demand Response in Smart Grids, 2019:121-142.
- [9] 负保记,张恩硕,张国,等.考虑综合需求响应与"双碳"机制的综合能源系统优化运行[J]. 电力系统保护与控制, 2022,50(22):11-19.
- [10] 魏震波,马新如,郭毅,等.碳交易机制下考虑需求响应的 综合能源系统优化运行[J].电力建设,2022,43(01):1-9.
- [11] 王利猛,刘雪梦,李扬,等.阶梯式碳交易机制下考虑需求响应的综合能源系统低碳优化调度[J].电力建设,2024,45(02):102-114.
- [12] 李娇,周政.智能电网中的分布式能源管理与优化分析[J]. 电子技术,2024,53(11):286-287.
- [13] Chen N, Gao J, Gao L, et al. Economic dispatch of integrated energy systems taking into account the participation of flexible loads and concentrated solar power plants[J]. Energy, 2025, 320:135222.